

© 1991

**ВЛИЯНИЕ ВЫСОКОГО ДАВЛЕНИЯ  
НА ЭЛЕКТРИЧЕСКИЕ СВОЙСТВА  
ГЕКСАБОРИДОВ ЕВРОПИЯ И ИТТЕРБИЯ**

*B. A. Сидоров, Н. Н. Степанов, О. Б. Цюк,  
Л. Г. Хвостанцев, И. А. Смирнов, М. М. Корсукова*

На монокристаллах  $\text{EuB}_6$  и  $\text{YbB}_6$  измерены барические зависимости удельного электросопротивления и термоэдс в диапазоне давлений до 11 ГПа. Проведено сравнение полученных данных с аналогичными данными для монокристаллов  $\text{LaB}_6$  и  $\text{SmTe}$ . На основании анализа результатов экспериментальных исследований  $\text{EuB}_6$  и  $\text{YbB}_6$  высказывается предположение о возможности перехода ионов  $\text{Eu}$  и  $\text{Yb}$  в состояние с переменной валентностью под давлением  $\approx 10$  ГПа.

Гексабориды европия и иттербия благодаря наличию у них необычных физических свойств вызывают в последние годы значительный интерес исследователей [1, 2]. Известно, что ионы европия и иттербия в  $\text{EuB}_6$  и  $\text{YbB}_6$  находятся в двухвалентном состоянии, тогда как валентность ионов других редкоземельных металлов (РЗМ) в гексаборидах равна 3+ либо близка к таковой (в случае  $\text{SmB}_6$ ) [2–4]. По этой причине  $\text{EuB}_6$  и  $\text{YbB}_6$ , кристаллизующиеся наравне с другими гексаборидами РЗМ в одном структурном типе  $\text{CaB}_6$  (пр. гр.  $Pm\bar{3}m$ ), в отличие от последних обладают более высокими значениями периодов кристаллической решетки [2]. «Аномальная» валентность ионов  $\text{Eu}$  и  $\text{Yb}$  в гексаборидах обуславливает, кроме того, полупроводниковый характер процессов электропереноса в этих материалах —  $\text{EuB}_6$  и  $\text{YbB}_6$  являются узкозонными полупроводниками<sup>1</sup> с энергиями активации свободных носителей тока  $\sim 0.1$  эВ [6].

Изучение влияния гидростатического давления  $P$  до 1.4 ГПа при 300 К на электросопротивление  $R$  монокристаллов гексаборидов  $\text{Eu}$  и  $\text{Yb}$  [7–9] обнаружило экспоненциальное уменьшение  $R$  с ростом  $P \approx 40$  и 14 % соответственно для  $\text{EuB}_6$  и  $\text{YbB}_6$ . Экспоненциально падающая зависимость  $R(P)$  свидетельствует о линейном уменьшении под давлением энергии активации свободных носителей тока. Эти экспериментальные данные дают основание полагать, что воздействием более высоких давлений можно инициировать в указанных соединениях фазовые переходы типа полупроводник—металл. Кроме того, можно ожидать, что эти фазовые превращения будут сопровождаться валентными переходами в системе РЗ-ионов, входящих в состав соединений, поскольку при уменьшении межатомных расстояний под давлением энергетически более выгодными становятся электронные конфигурации ионов  $\text{Eu}$  и  $\text{Yb}$ , обладающие меньшим объемом, т. е. большей валентностью. Эксперименты по изучению возможности фазовых переходов в гексаборидах  $\text{Eu}$  и  $\text{Yb}$  под

<sup>1</sup> При температурах  $T \leq 10 \div 15$  К в  $\text{EuB}_6$  наблюдается ферромагнитное упорядочение, следствием которого является фазовый переход полупроводник—металл [5].

давлением  $> 1.4$  ГПа были проведены в [10, 11]. В работе [10] в условиях литостатического сжатия до 10 ГПа и  $T=300$  К изучались барические зависимости удельного электросопротивления  $\rho$  предварительно опрессованных при  $P=10$  ГПа порошков  $\text{EuB}_6$ ,  $\text{YbB}_6$  и  $\text{LaB}_6$ . Гексаборид лантана использовался в [10] в качестве рефера, поскольку это соединение является типичным металлом [12], в котором ионы La находятся в устойчивом трехвалентном состоянии. Установлено, что, во-первых, зависимости  $\rho(P)$  исследованных образцов  $\text{EuB}_6$  и  $\text{YbB}_6$  слабо меняются под давлением  $P > 4$  ГПа и, во-вторых, на верхней границе барического диапазона (10 ГПа) значения  $\rho$   $\text{EuB}_6$  и  $\text{YbB}_6$  существенно превосходят по величине ( $\sim 10^2$ )  $\rho$   $\text{LaB}_6$ . Эти экспериментальные данные могут служить косвенным указанием на наличие при  $P > 4$  ГПа в  $\text{EuB}_6$  и  $\text{YbB}_6$  непрерывных фазовых переходов в состояние с переменной валентностью (ПВ) РЗ-ионов, аналогично тому как это происходит под давлением в некоторых халькогенидах двухвалентных РЗМ ( $\text{SmSe}$ ,  $\text{SmTe}$ ,  $\text{YbS}$  [13–16]).

Рентгеноструктурные исследования  $\text{EuB}_6$  под давлением до 8 ГПа [11] не обнаружили каких-либо аномалий, обусловленных фазовыми превращениями, на барической зависимости удельного объема указанного соединения. На этом основании в [11] высказывается предположение о невозможности фазовых переходов в гексабориде Eu даже при очень высоких давлениях ( $P > 8$  ГПа). На образцах  $\text{YbB}_6$ , насколько нам известно, подобные эксперименты не проводились. Необходимо, тем не менее, отметить, что особенность строения кристаллических решеток  $\text{EuB}_6$  и  $\text{YbB}_6$  — наличие жесткого трехмерного каркаса в виде восьми октаэдров из атомов бора, окружающих каждый РЗ-ион, — делает их малочувствительными к изменениям электронной конфигурации ионов Eu и Yb. Поэтому в этих материалах аномалии упругих свойств кристаллических решеток (смягчение их упругих модулей), сопровождающие валентные фазовые переходы в соединениях РЗМ [13], могут оказаться столь незначительными, особенно в начальной стадии переходов (при условии их непрерывности), что не будут превосходить погрешность проводимых экспериментальных исследований.

Ранее на примере халькогенидов Sm и YbS было показано, что исследование барических зависимостей термоэдс ( $S$ ) РЗ-соединений позволяет судить об изменении под давлением валентного состояния РЗ-ионов [14–17]. Поэтому представлялось необходимым провести подобные эксперименты на монокристаллах гексаборидов Eu и Yb.

В настоящей работе представлены результаты экспериментальных исследований  $\rho$  и  $S$  монокристаллов  $\text{EuB}_6$  и  $\text{YbB}_6$  при 300 К под действием гидростатического давления до 8 ГПа и литостатического до 11 ГПа.

Эксперименты проводились в аппарате высокого давления типа «тороид» [18] по методике, описанной в [19]. Монокристаллы гексаборидов Eu и Yb с характерными размерами  $2.5 \times 0.4 \times 0.3$  мм были получены раствор-расплавным методом [8] и аттестованы с помощью рентгеновского и химического анализов.

Результаты исследований приведены на рис. 1, а, б и 2. На этих же рисунках представлены для сравнения зависимости  $\rho(P)$  и  $S(P)$ , полученные на монокристаллах  $\text{LaB}_6$  [20].

Рассмотрим сначала барические зависимости  $\rho$   $\text{EuB}_6$ ,  $\text{YbB}_6$  и  $\text{LaB}_6$  (рис. 1, а, б). При атмосферном давлении и комнатной температуре  $\rho$  составляет ( $\Omega\cdot\text{см}$ ):  $\text{EuB}_6 = 6.5 \cdot 10^{-4}$ ,  $\text{YbB}_6 = 1.3 \cdot 10^{-3}$ ,  $\text{LaB}_6 = 1.3 \times 10^{-5}$ . В диапазоне давлений до 1.2 ГПа  $\rho$   $\text{EuB}_6$  и  $\text{YbB}_6$ <sup>2</sup> убывает с различными коэффициентами пьезосопротивления всестороннего сжатия  $\Pi = \partial\rho/\partial P \approx -0.18$  и  $\approx -0.1$  ГПа<sup>-1</sup> соответственно. В области  $P \approx 1.2$  ГПа

<sup>2</sup> Расчет барической зависимости  $\rho$  гексаборидов Eu и Yb проводился на основании данных [11] по зависимости объемной сжимаемости  $\beta$   $\text{EuB}_6$  от давления ( $\beta_{\text{EuB}_6} = \text{const}(P)$ ); исходя из равенства микротвердостей монокристаллов  $\text{EuB}_6$  и  $\text{YbB}_6$  [11] принималось  $\beta(P)_{\text{EuB}_6} = \beta(P)_{\text{YbB}_6}$ .

на зависимостях  $\rho(P)$  гексаборидов Eu и Yb наблюдаются особенности в виде изломов, которые можно связать с обращением в нуль энергии активации мелких примесных донорных уровней [10]. Оценим параметры этих уровней (энергию активации  $E_a$  и ее барическую производную  $\partial E_a / \partial P$ )

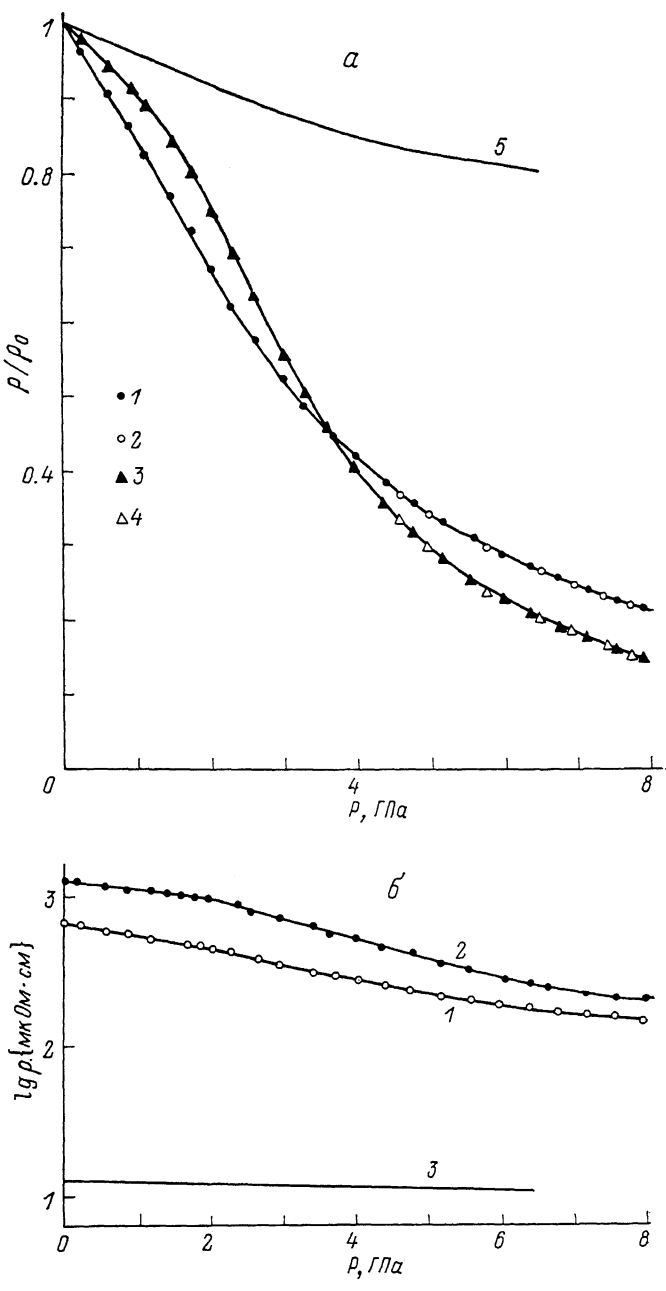


Рис. 1. Барические зависимости  $\rho/\rho_0$  и  $\lg \rho$  EuB<sub>6</sub>, YbB<sub>6</sub> и LaB<sub>6</sub>.

а: 1, 2 — монокристаллы EuB<sub>6</sub> (прямой и обратный ход); 3, 4 — монокристаллы YbB<sub>6</sub> (прямой и обратный ход); 5 — монокристаллы LaB<sub>6</sub> [10];  $\rho_0$  — при 300 К и  $P=0.1$  МПа; среда, передающая давление, — метанол—этанол (4 : 1); б: 1 — монокристалл EuB<sub>6</sub>; 2 — монокристалл YbB<sub>6</sub>; 3 — монокристалл LaB<sub>6</sub> [10]; среда — метанол—этанол (4 : 1).

исходя из следующих предположений: а) подвижность свободных носителей тока в EuB<sub>6</sub> и YbB<sub>6</sub> пренебрежимо мало меняется под давлением по сравнению с их концентрацией; б) для описания процессов электропереноса в полупроводниковых фазах этих соединений применима классическая статистика. В рамках указанных приближений представим бариче-

скую зависимость  $\text{EuB}_6$  и  $\text{YbB}_6$  в следующем виде:  $\rho = A \exp(E_a/k_0 T + PR)$ , где  $E_a$  — энергия активации донорных уровней,  $A = \text{const}(P)$ ,  $k_0$  — постоянная Больцмана. Отсюда следует, что для донорных уровней в  $\text{EuB}_6$   $E_a|_{P<1.2} \approx 5.46$  мэВ и  $\partial E_a/\partial P|_{P<1.2} \approx -4.6$  мэВ/ГПа, в  $\text{YbB}_6$   $E_a|_{P<1.2} \approx 3.2$  мэВ,  $\partial E_a/\partial P|_{P<1.2} \approx -2.7$  мэВ/ГПа. В области давлений  $P > 1.2$  ГПа наклон кривых  $\rho(P)$  заметно возрастает —  $\rho_{\text{EuB}_6}$  принимает значение  $\approx -0.31$  ГПа $^{-1}$ ,  $\rho_{\text{YbB}_6} \approx -0.24$  ГПа $^{-1}$ . Подобное поведение  $\rho(P)$  гексаборидов Еу и Yb можно объяснить присутствием в запрещенной зоне этих соединений также и других, более глубоких примесных уровней. На основании принятых выше допущений проведем для них расчет  $E_a$  и  $\partial E_a/\partial P$ . В  $\text{EuB}_6$  для этих уровней получаем:  $E_a \approx 30$  мэВ и  $\partial E_a/\partial P \approx$

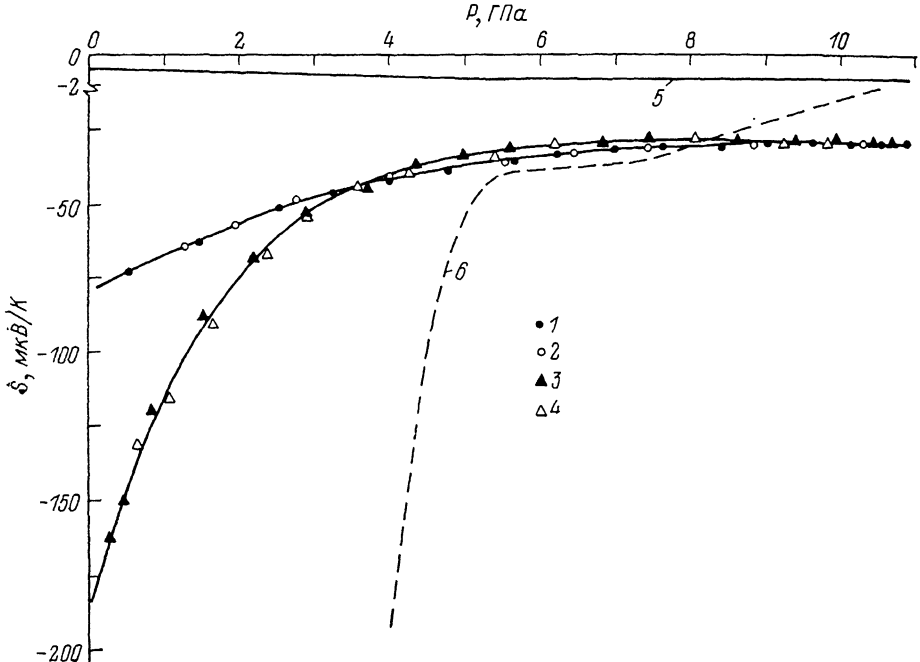


Рис. 2. Барические зависимости термоэдс  $\text{EuB}_6$ ,  $\text{YbB}_6$ ,  $\text{LaB}_6$  и  $\text{SmTe}$ .

1, 2 — монокристалл  $\text{EuB}_6$  (прямой и обратный ход); 3, 4 — монокристалл  $\text{YbB}_6$  (прямой и обратный ход); среда, передающая давление, — пирофиллит; 5 — монокристалл  $\text{LaB}_6$  [ $^{[20]}$ ]; среда — пирофиллит; 6 — монокристалл  $\text{SmTe}$  [ $^{[16]}$ ]; среда — метанол—этанол (4 : 1).

$\approx -6.7$  мэВ/ГПа, в  $\text{YbB}_6$  —  $E_a \approx 45$  мэВ и  $\partial E_a/\partial P \approx -8$  мэВ/ГПа. При давлениях  $\approx 4.5$  и  $5.6$  ГПа соответственно для  $\text{EuB}_6$  и  $\text{YbB}_6$  наклон кривых  $\rho(P)$  уменьшается, при этом  $\rho_{\text{EuB}_6}$  принимает значение  $\approx -0.16$  ГПа $^{-1}$ , а  $\rho_{\text{YbB}_6} \approx -0.22$  ГПа $^{-1}$ . Связана эта особенность в поведении  $\rho(P)$  гексаборидов Еу и Yb с переходом к собственной проводимости или с тем, что в игру вступают новые примесные уровни, с определенностью сказать трудно, поскольку нам не удалось провести измерения  $\rho$  при гидростатическом сжатии  $P > 8$  ГПа. Завершая на этом анализ зависимостей  $\rho(P)$  гексаборидов Еу и Yb, отметим следующее. На верхнем пределе исследованного диапазона давлений (8 ГПа) значения  $\rho$   $\text{EuB}_6$  и  $\text{YbB}_6$  значительно ( $> 10$ ) превосходят таковые, характерные для обычных металлов (ср., например, с  $\rho_{\text{LaB}_6}$ , рис. 1, а, б).

Обратимся теперь к экспериментальным данным  $S(P)$   $\text{EuB}_6$  и  $\text{YbB}_6$  (рис. 2). При нормальных условиях ( $P = 0.1$  МПа и  $T = 300$  К)  $S_{\text{EuB}_6} \approx -80$ ,  $S_{\text{YbB}_6} \approx -190$  мкВ/К. Более высокое значение  $|S_{\text{YbB}_6}|$  по сравнению с  $|S_{\text{EuB}_6}|$  может быть обусловлено либо довольно сильной компенсацией доноров в  $\text{YbB}_6$ , либо значительным вкладом в процессы электропереноса валентной зоны последнего [21]. Под давлением термоэдс  $\text{EuB}_6$  и  $\text{YbB}_6$  убывает по абсолютной величине, одновременно убывает и ее барическая производная  $\partial S/\partial P$ ; знак  $S$  во всей исследованной области  $P$

соответствует электронной проводимости. Наблюдаемое изменение  $S$  гексаборидов Eu и Yb под давлением до 8 ГПа коррелирует с уменьшением их  $\rho$  в указанном интервале  $P$  и может быть объяснено ростом концентрации свободных носителей тока в этих материалах. В области  $8 \leq P < 10$  ГПа зависимости  $S(P)$  выходят на насыщение, а под давлением  $\geq 10$  ГПа практически полностью выполняются ( $\partial S / \partial P \approx 0$ ). Величина  $S$  в интервале  $P = 10 - 11$  ГПа стабилизируется на уровне  $\approx -30$  мкВ/К, причем это значение  $S$  по абсолютной величине более чем на порядок превосходит  $|S|_{\text{LaB}_6} \approx 1.8$  мкВ/К при  $P = 11$  ГПа. Подобное поведение  $S(P)$  наблюдалось ранее в ГЦК-фазе монотеллурида самария [15] и связывалось с переходом ионов Sm под давлением в состояние ПВ. Фрагмент барической зависимости  $S$  SmTe, включающий область валентного перехода, приведен на рис. 2.

На основании анализа зависимостей  $S(P)$  гексаборидов Eu и Yb и по аналогии с поведением  $S(P)$  SmTe можно выдвинуть предположение о том, что под давлением  $\sim 10$  ГПа в EuB<sub>6</sub> и YbB<sub>6</sub> происходят фазовые превращения типа полупроводник—металл, которые сопровождаются переходом РЗ-ионов в состояние ПВ. Попытаемся обосновать это предположение, исходя из модели зонной структуры гексаборидов Eu и Yb, предложенной в [21]. Согласно [21], низ зоны проводимости EuB<sub>6</sub> и YbB<sub>6</sub> сформирован в основном  $5d_{eg}$  (6s)-орбитальми атомов РЗМ, а верхняя валентная зона образована смешанными волновыми функциями  $2p$ -состояний бора и  $4f$ -состояний РЗМ. Под действием всестороннего сжатия дно зоны проводимости EuB<sub>6</sub> и YbB<sub>6</sub> должно понижаться как вследствие ее расширения за счет роста перекрытия  $5d$ - и  $6s$ -волновых функций близлежащих соседних РЗ-ионов, так и в результате увеличения расщепления  $e_g$ - и  $t_{2g}$ -подзон  $5d$ -зоны кристаллическим полем решетки. В конечном итоге этот процесс должен привести к исчезновению энергетического зазора между зоной проводимости и валентной зоной, т. е. к фазовому переходу полупроводник—металл. При этом  $4f$ -состояния РЗ-ионов сравняются по энергии с  $5d_{eg}$  (6s)-состояниями и  $4f$ -электроны приобретут частично зонный характер. В результате возникнет состояние ПВ РЗ-ионов, характеризующееся квантовыми флюктуациями между различными электронными конфигурациями этих ионов и, следовательно, дробным средним числом  $4f$ -электронов на ион. В области температур  $\geq 100$  К межконфигурационные флюктуации должны приводить к сильному резонансному рассеянию электронов проводимости на  $4f$ -уровнях [22] и как следствие к аномально высоким значениям  $\rho$  и  $|S|$  ПВ-фаз EuB<sub>6</sub> и YbB<sub>6</sub> по сравнению с нормальными металлами. В то же время эти значения  $\rho$  и  $S$  не должны сильно зависеть от давления, поскольку концентрация свободных носителей тока в ПВ-фазах слабо меняется с ростом  $P$ . Выполненные в настоящей работе и в [10] экспериментальные исследования подтверждают именно такое поведение  $\rho(P)$  и  $S(P)$  гексаборидов Eu и Yb при  $P \geq 10$  ГПа.

В заключение авторы считают необходимым отметить качественный характер приведенной выше аргументации относительно возможности фазовых переходов EuB<sub>6</sub> и YbB<sub>6</sub> в состояние ПВ при всестороннем сжатии  $\sim 10$  ГПа. В связи с этим представляет несомненный интерес изучение под давлением эволюции валентного состояния ионов Eu и Yb в гексаборидах посредством прямых экспериментов, например методом рентгеновской абсорбционной  $L_{III}$ -спектроскопии.

#### Список литературы

- [1] Корсукова М. М., Гурин В. Н. // ЖВХО. 1981. Т. 26. № 6. С. 679—688.
- [2] Etourneau J., Hagenmuller P. // Phil. Mag. B. 1985. V. 52. N 3. P. 589—610.
- [3] Paderno Yu. B., Pokzywnicki S., Stalinski B. // Phys. St. Sol. 1967. V. 24. N 1. Р. K73—K76.
- [4] Вайнштейн Э. Е., Блохин С. М., Падерно Ю. Б. // ФТТ. 1964. Т. 6. № 10. С. 2909—2912.
- [5] Tarascon J. M., Etourneau J., Dordor P., Hagenmuller P., Kasaya M.,

- Соей J. M. D. // J. Appl. Phys. 1980. V. 51. N 1. P. 574—577.
- [6] Goodenough J. B., Mercurio J. P., Etourneau J., Naslain R., Hagenmuller P. // C. R. Acad. Sci. Paris. 1973. T. 277. Ser. C. P. 1239—1242.
- [7] Степанов Н. Н., Зюзин А. Ю., Шульман С. Г., Гурин В. Н., Корсукова М. М., Никаноров С. П., Смирнов И. А. // ФТТ. 1978. Т. 20. № 3. С. 935—938.
- [8] Gurin V. N., Korsukova M. M., Nikanorov S. P., Smirnov I. A., Stepanov N. N., Shul'man S. G. // J. Less-Common Met. 1979. V. 67. N 1. P. 115—123.
- [9] Korsukova M. M., Stepanov N. N., Gontcharova E. V., Gurin V. N., Nikanorov S. P., Smirnov I. A. // J. Less-Common Met. 1981. V. 82. N 1/2. P. 211—217.
- [10] Leger J. M., Percheron Guegan A., Loriers C. // Phys. St. Sol. (a). 1980. V. 60. N 1. P. K23—L26.
- [11] Lunström T., Lönnberg B., Törmä B., Etourneau J., Tarascon J. M. // Phys. Scripta. 1982. V. 26. N 5. P. 414—416.
- [12] Hasegawa A., Yanase A. J. // J. Phys. F. 1977. V. 7. N 7. P. 1245—1260.
- [13] Jayaraman A., Dernier P. D., Longinotti L. D. // High Temp.-High Press. 1975. V. 7. N 1. P. 1—28.
- [14] Гаврилюк А. Г., Сидоров В. А., Смирнов И. А., Степанов Н. Н., Хвостанцев Л. Г., Циок О. Б., Барабанов А. Ф., Голубков А. В. // ФТТ. 1986. Т. 28. № 7. С. 2135—2139.
- [15] Сидоров В. А., Степанов Н. Н., Хвостанцев Л. Г., Циок О. Б., Голубков А. В. Оскотский В. С., Смирнов И. А. // ФТТ. 1987. Т. 29. № 9. С. 2616—2621.
- [16] Сидоров В. А., Хвостанцев Л. Г., Циок О. Б., Степанов Н. Н., Голубков А. В., Смирнов И. А. // ФТТ. 1990. Т. 32. № 4. С. 1128—1132.
- [17] Щенников В. В., Степанов Н. Н., Смирнов И. А., Голубков А. В. // ФТТ. 1988. Т. 30. № 10. С. 3105—3110.
- [18] Khvostantsev L. G., Vereshchagin L. F., Novikov A. P. // High Temp.-High Press. 1977. V. 9. N 6. P. 637—639.
- [19] Khvostantsev L. G., Sidorov V. A. // Phys. St. Sol. (a). 1981. V. 64. N 1. P. 379—384.
- [20] Сидоров В. А., Степанов Н. Н., Циок О. Б., Хвостанцев Л. Г., Смирнов И. А., Корсукова М. М. // ФТТ. 1989. Т. 31. № 9. С. 197—199.
- [21] Kasuya T., Takegahara K., Kasaya M., Isikawa Y., Fujita T. // J. de Physique. 1980. Т. 41. Colloque C5. Suppl. 6. Р. C5—161—C5—170.
- [22] Хомский Д. И. Редкоземельные соединения с промежуточной валентностью: спектроскопические исследования // Спектроскопия кристаллов / Под ред. А. А. Каплянского. АН СССР Л.: ФТИ им. А. Ф. Иоффе 1985. С. 118—149.

Филиал института машиноведения  
им. А. А. Благонравова  
Ленинград

Поступило в Редакцию  
11 ноября 1990 г.